

# ВЛИЯНИЕ МНОГОКРАТНОГО РАССЕЯНИЯ РЕЛЯТИВИСТСКОГО ЭЛЕКТРОНА В ПЕРИОДИЧЕСКОЙ СЛОИСТОЙ СРЕДЕ НА КОГЕРЕНТНОЕ РЕНТГЕНОВСКОЕ ИЗЛУЧЕНИЕ

*С. В. Блажевич, Т. В. Косьюкова, А. В. Носков\**

*Белгородский государственный национальный исследовательский университет  
308015, Белгород, Россия*

Поступила в редакцию 13 мая 2015 г.

Развита динамическая теория когерентного рентгеновского излучения, генерируемого в периодической слоистой среде многократно рассеивающимся на атомах мишени релятивистским электроном. Получены выражения, описывающие спектрально-угловые характеристики параметрического рентгеновского излучения и дифрагированного переходного излучения. На основе полученных выражений проведены численные расчеты.

DOI: 10.7868/S0044451016010016

## 1. ВВЕДЕНИЕ

При пересечении релятивистским электроном периодической слоистой среды в направлении рассеяния Брэгга генерируется когерентное рентгеновское излучение. По аналогии с излучением в кристаллической среде это излучение можно рассматривать в виде суммы дифрагированного переходного излучения (diffracted transition radiation (DTR)) и параметрического рентгеновского излучения (parametric X-ray radiation (PXR)) [1]. PXR возникает вследствие дифракции псевдофотонов кулоновского поля релятивистского электрона на слоях мишени, а DTR — вследствие динамической дифракции на этих же слоях фотонов переходного излучения, генерируемого на передней границе мишени. Многократное рассеяние релятивистских электронов на атомах слоистой структуры может оказывать влияние на спектрально-угловые характеристики как параметрического, так и дифрагированного переходного излучения. Традиционно влияние многократного рассеяния на свойства параметрического излучения учитывается путем усреднения сечения параметрического излучения по расширяющемуся пучку прямолинейных траекторий излуча-

ющих электронов. Между тем, в ряде экспериментальных работ [2, 3] указывалось на несоответствие теории параметрического излучения, использующей усреднение по пучку прямолинейных траекторий излучающих частиц, полученным экспериментальным данным. Очевидно, в рамках такого подхода теряется и вклад дифрагированного тормозного излучения. В рамках динамической теории дифракции в работе [4] была развита теория PXR в безграничном кристалле, не учитывающая DTR, но корректно учитывающая влияние многократного рассеяния излучающего электрона на характеристики PXR. В цитируемой работе на основе кинетического подхода к усреднению сечения излучения по всем возможным траекториям излучающих частиц показано, что вклад дифрагированного тормозного излучения (diffracted bremsstrahlung (DBS)) может быть весьма существенным. В работе [4] получены выражения, описывающие спектрально-угловые характеристики полного выхода излучения без разделения когерентного излучения на механизмы PXR и DTR, что позволило оценить только относительный вклад этих механизмов излучения.

Традиционно излучение релятивистской частицы в периодически слоистой структуре рассматривается в геометрии рассеяния Брэгга для случая симметричного отражения, когда отражающие слои параллельны входной поверхности, а излученные фотоны выходят через переднюю границу [1, 5–10].

\* E-mail: noskovbupk@mail.ru

В работе [11] была развита динамическая теория когерентного рентгеновского излучения релятивистского электрона, прямолинейно пересекающего периодическую слоистую среду в геометрии рассеяние Лауэ. В этой геометрии рассеяния излученные фотоны PXR и DTR выходят через заднюю границу мишени. В работе [11] было показано, что угловая плотность PXR релятивистского электрона существенно превышает PXR из монокристалла в аналогичных условиях. Этот результат можно использовать при создании альтернативного интенсивного квазимонохроматического рентгеновского источника с перестраиваемой частотой. В работе [12] показана возможность дополнительного увеличения угловой плотности PXR за счет изменения асимметрии отражения поля электрона относительно поверхности мишени. Изменение асимметрии в результате уменьшения угла между отражающими слоями мишени и ее поверхностью при фиксированном угле между направлением скорости электрона и слоями мишени (угол Брэгга) приводит к росту угловой плотности PXR. Необходимо отметить, что в рассматриваемой геометрии рассеяния при малом угле между отражающими слоями и поверхностью мишени (сильно асимметричный случай) даже при малой толщине мишени путь излучающего релятивистского электрона в мишени достаточно велик, что может привести к существенному влиянию многократного рассеяния электронов на спектрально-угловые характеристики излучений. Настоящая работа как раз и посвящена рассмотрению влияния многократного рассеяния релятивистского электрона в периодической слоистой среде на когерентное рентгеновское излучение.

## 2. СПЕКТРАЛЬНО-УГЛОВАЯ ПЛОТНОСТЬ КОГЕРЕНТНОГО ИЗЛУЧЕНИЯ

Рассмотрим пучок релятивистских электронов, пересекающих периодическую слоистую структуру (рис. 1), состоящую из периодически расположенных аморфных слоев толщиной  $a$  и  $b$  ( $T = a + b$  — период структуры), имеющих соответственно диэлектрические восприимчивости  $\chi_a$  и  $\chi_b$ . Введем угловые переменные  $\psi$ ,  $\theta$  и  $\theta_0$  в соответствии с определениями скорости релятивистского электрона  $\mathbf{V}$  и единичных векторов: в направлении импульса фотона  $\mathbf{n}$ , излученного в направлении близком к скорости электрона, и в направлении рассеяния Брэгга  $\mathbf{n}_g$ :

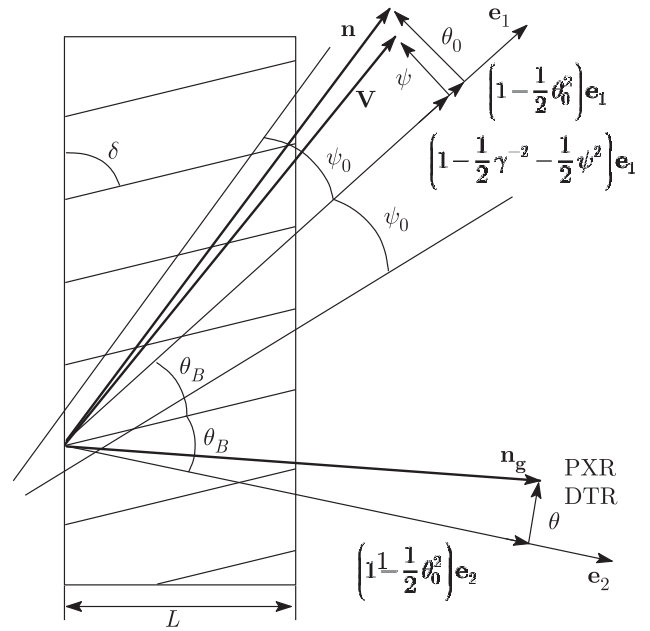


Рис. 1. Геометрия процесса излучения

$$\begin{aligned} \mathbf{V} &= \left(1 - \frac{1}{2}\gamma^{-2} - \frac{1}{2}\psi^2\right) \mathbf{e}_1 + \psi, & \mathbf{e}_1 \cdot \psi &= 0, \\ \mathbf{n} &= \left(1 - \frac{1}{2}\theta_0^2\right) \mathbf{e}_1 + \theta_0, & \mathbf{e}_1 \cdot \theta_0 &= 0, \\ & & \mathbf{e}_1 \cdot \mathbf{e}_2 &= \cos 2\theta_B, \\ \mathbf{n}_g &= \left(1 - \frac{1}{2}\theta^2\right) \mathbf{e}_2 + \theta, & \mathbf{e}_2 \cdot \theta &= 0, \end{aligned} \quad (1)$$

где  $\theta$  — угол излучения, отсчитываемый от оси детектора излучения  $\mathbf{e}_2$ ,  $\psi$  — угол отклонения электрона в пучке, отсчитываемый от оси электронного пучка  $\mathbf{e}_1$ ,  $\theta_0$  — угол между направлением распространения падающего фотона и осью  $\mathbf{e}_1$ ,  $\gamma = 1/\sqrt{1 - V^2}$  — фактор Лоренца частицы. Угловые переменные раскладываются на составляющие параллельные и перпендикулярные плоскости рисунка:  $\theta = \theta_{\parallel} + \theta_{\perp}$ ,  $\theta_0 = \theta_{0\parallel} + \theta_{0\perp}$ ,  $\psi = \psi_{\parallel} + \psi_{\perp}$ .

В работе [13] была развита динамическая теория когерентного рентгеновского излучения, генерируемого в монокристаллической пластине расходящимся пучком прямолинейно двигающихся релятивистских электронов. В рамках двухволнового приближения динамической теории дифракции были получены выражения, описывающие спектрально-угловые характеристики PXR и DTR. Поступим аналогично при рассмотрении когерентного рентгеновского излучения релятивистского электрона в мишени из периодической слоистой среды. Средняя диэлектрическая восприимчивость  $\chi_0(\omega)$  и коэффициенты  $\chi_g(\omega)$  — фурье-разложения диэлектри-

ческой восприимчивости периодической слоистой структуры по векторам  $\mathbf{g}$  ( $g = 2\pi n/T$ ,  $n = 0, \pm 1, \pm 2, \dots$ ), аналогичным векторам обратной решетки в кристалле, будут иметь вид

$$\begin{aligned}\chi_0(\omega) &= \frac{a}{T}\chi_a + \frac{b}{T}\chi_b, \\ \chi_{\mathbf{g}}(\omega) &= \frac{\exp(-iga) - 1}{igT}(\chi_b - \chi_a).\end{aligned}\quad (2)$$

Выполнив для направления распространения излученного фотона  $\mathbf{k}_{\mathbf{g}} = k_{\mathbf{g}}\mathbf{n}_{\mathbf{g}}$  (см. рис. 1) аналитические процедуры, аналогичные представленным в работах [11, 13], получим выражения для спектрально-угловых плотностей PXR и DTR в периодической слоистой среде с учетом отклонения направления скорости электрона  $\mathbf{V}$  относительно оси электронного пучка  $\mathbf{e}_1$ :

$$\omega \frac{d^2 N_{PXR}^{(s)}}{d\omega d\Omega} = \frac{e^2}{4\pi^2} \frac{\Omega^{(s)^2}}{(\Delta - \chi'_0)^2} R_{PXR}^{(s)}, \quad (3a)$$

$$\begin{aligned}R_{PXR}^{(s)} &= \left(1 - \frac{\xi^{(s)}}{\sqrt{\xi^{(s)^2} + \varepsilon}}\right)^2 \times \\ &\times \left\{1 + \exp(-L_f \mu_1^{(s)}) - 2 \exp\left(-\frac{L_f \mu_1^{(s)}}{2}\right) \times \right. \\ &\times \left. \cos\left(\frac{L_e}{2L_{ext}} \left(\sigma^{(s)} + \frac{\xi^{(s)} - \sqrt{\xi^{(s)^2} + \varepsilon}}{\varepsilon}\right)\right)\right\} \times \\ &\times \left\{\left(\sigma^{(s)} + \frac{\xi^{(s)} - \sqrt{\xi^{(s)^2} + \varepsilon}}{\varepsilon}\right)^2 + \left(\frac{\mu_1^{(s)} L_{ext}}{\varepsilon}\right)^2\right\}^{-1}, \quad (3b)\end{aligned}$$

$$\omega \frac{d^2 N_{DTR}^{(s)}}{d\omega d\Omega} = \frac{e^2}{4\pi^2} \Omega^{(s)^2} \left(\frac{1}{\Delta} - \frac{1}{\Delta - \chi'_0}\right)^2 R_{DTR}^{(s)}, \quad (4a)$$

$$\begin{aligned}R_{DTR}^{(s)} &= \frac{\varepsilon^2}{\xi^{(s)^2 + \varepsilon} \left[\exp(-L_f \mu_1^{(s)}) + \exp(-L_f \mu_2^{(s)}) - \right. \\ &- 2 \exp\left(-L_f \mu_0 \left(\frac{1 + \varepsilon}{2}\right)\right) \times \\ &\times \left. \cos\left(\frac{L_f}{L_{ext}} \sqrt{\xi^{(s)^2} + \varepsilon}\right)\right]}, \quad (4b)\end{aligned}$$

где

$$d\Omega = d\theta_{\perp} d\theta_{\parallel},$$

$$\Delta(\theta_{\perp}, \theta_{\parallel}, \psi_{\perp}, \psi_{\parallel}, \gamma) = \gamma^{-2} + (\theta_{\perp} - \psi_{\perp})^2 + (\theta_{\parallel} + \psi_{\parallel})^2,$$

$$\Omega^{(1)} = \theta_{\perp} - \psi_{\perp}, \quad \Omega^{(2)} = \theta_{\parallel} + \psi_{\parallel},$$

$$\mu_1^{(s)} = \mu_0 \left(\frac{1 + \varepsilon}{2} - \frac{(1 - \varepsilon)\xi^{(s)}(\omega) + 2\varepsilon\kappa^{(s)}}{2\sqrt{\xi^{(s)}(\omega)^2 + \varepsilon}}\right),$$

$$\mu_2^{(s)} = \mu_0 \left(\frac{1 + \varepsilon}{2} + \frac{(1 - \varepsilon)\xi^{(s)}(\omega) + 2\varepsilon\kappa^{(s)}}{2\sqrt{\xi^{(s)}(\omega)^2 + \varepsilon}}\right),$$

$$\mu_0 = \omega \left(\frac{|\chi_a'' + r\chi_b''|}{1 + r}\right), \quad \chi'_0 = \frac{\chi_a' + r\chi_b'}{1 + r},$$

$$L_f = \frac{L}{\sin(\delta + \theta_B)}, \quad L_e = \frac{L}{\sin(\delta - \theta_B)},$$

$$L_{ext}^{(s)} = \frac{1}{C^{(s)}\omega} \frac{\pi n}{|\sin(\pi n/(1+r))| |\chi_b' - \chi_a'|},$$

$$\varepsilon = \frac{\sin(\delta + \theta_B)}{\sin(\delta - \theta_B)},$$

$$\kappa^{(s)} = \frac{C^{(s)} |\sin(\pi n/(1+r))|}{\pi n/(1+r)} \left|\frac{\chi_b'' - \chi_a''}{\chi_a'' + r\chi_b''}\right|,$$

$$\sigma^{(s)} = \frac{\pi n}{C^{(s)} |\chi_b' - \chi_a'| |\sin(\pi n/(1+r))|} \left(\Delta - \frac{\chi_a' + r\chi_b'}{1+r}\right),$$

$$\begin{aligned}\xi^{(s)}(\omega) &= \frac{2\pi^2 n^2}{T^2 \omega_B} \times \\ &\times L_{ext}^{(s)} \left(1 - \frac{\omega}{\omega_B} \left(1 - \theta_{\parallel} \sqrt{\frac{T^2 \omega_B^2}{\pi^2 n^2} - 1}\right)\right) + \frac{1 - \varepsilon}{2\nu^{(s)}},\end{aligned}$$

$$\nu^{(s)} = \frac{C^{(s)} |\sin(\pi n/(1+r))|}{\pi n/(1+r)} \left|\frac{\chi_b' - \chi_a'}{\chi_a' + r\chi_b'}\right|, \quad r = \frac{b}{a}. \quad (5)$$

В этих формулах  $\theta_B$  — угол между осью пучка электрона и слоями мишени (угол Брэгга),  $\omega_B = g/(2\sin\theta_B)$  — частота Брэгга,  $\mu_1^{(s)}$  и  $\mu_2^{(s)}$  — динамические эффективные коэффициенты поглощения рентгеновских волн в периодической слоистой среде,  $L_f$  — максимальный путь фотона в мишени (путь фотона DTR),  $L_e$  — путь электрона в мишени,  $L_{ext}^{(s)}$  — длина экстинкции рентгеновских волн в периодической слоистой среде,  $\xi^{(s)}(\omega)$  — спектральная быстро меняющаяся с частотой излучения  $\omega$  функция,  $r$  — параметр, определяющий соотношения толщин слоев в мишени,  $\varepsilon$  — параметр, определяющий степень асимметрии отражения поля электрона относительно поверхности мишени,  $\delta$  — угол между поверхностью мишени и отражающими слоями. Заметим, что угол падения электрона на поверхность мишени ( $\delta - \theta_B$ ) уменьшается при увеличении параметра  $\varepsilon$ . Параметр  $\nu^{(s)}$  (5), принимающий значения в промежутке  $0 \leq \nu^{(s)} \leq 1$ , определяет степень отражения поля от периодической структуры, которая обуславливается характером интерференции волн отраженных от разных слоев (конструктивным

( $\nu^{(s)} \approx 1$ ) или деструктивным ( $\nu^{(s)} \approx 0$ ). Параметр  $\kappa^{(s)}$  определяет степень проявления эффекта аномально низкого фотопоглощения (эффекта Бормана) в прохождении рентгеновских фотонов через периодическую слоистую структуру, хорошо известного в физике рассеяния свободных рентгеновских лучей в кристалле [14].

Выражения (3), (4) при  $s = 1$  описывают поля  $\sigma$ -поляризованные, а при  $s = 2$  — поля  $\pi$ -поляризованные. Так как излучаемое релятивистским электроном электромагнитное поле является поперечным в рентгеновском диапазоне частот, то падающая  $\mathbf{E}(\mathbf{k}, \omega)$  и дифрагированная  $\mathbf{E}(\mathbf{k} + \mathbf{g}, \omega)$  в периодической слоистой среде волны, определяются двумя амплитудами с разными значениями поперечной поляризации:

$$\mathbf{E}(\mathbf{k}, \omega) = E_0^{(1)}(\mathbf{k}, \omega)\mathbf{e}_0^{(1)} + E_0^{(2)}(\mathbf{k}, \omega)\mathbf{e}_0^{(2)}, \quad (6)$$

$$\mathbf{E}(\mathbf{k} + \mathbf{g}, \omega) = E_{\mathbf{g}}^{(1)}(\mathbf{k}, \omega)\mathbf{e}_{\mathbf{g}}^{(1)} + E_{\mathbf{g}}^{(2)}(\mathbf{k}, \omega)\mathbf{e}_{\mathbf{g}}^{(2)},$$

$$\frac{dN_{PXR}^{(s)}}{d\Omega} = \frac{e^2 T^2 \omega_B}{4\pi^3 n^2 L_{ext}^2}, \frac{\Omega^{(s)^2}}{\mu_0} \varepsilon^2 \left( 1 - \exp \left\{ -L_e \mu_0 \frac{(\Delta - \chi'_0)^2 - 2\kappa^{(s)} \nu^{(s)} \chi'_0 (\Delta - \chi'_0) + \nu^{(s)^2} \chi'^2_0}{(\Delta - \chi'_0)^2 \varepsilon + \nu^{(s)^2} \chi'^2_0} \right\} \right) \times \left\{ (\Delta - \chi'_0)^2 - 2\kappa^{(s)} \nu^{(s)} \chi'_0 (\Delta - \chi'_0) + \nu^{(s)^2} \chi'^2_0 \right\}^{-1}. \quad (8)$$

Выражение для угловой плотности DTR, следующее из (4b), запишем в виде

$$\frac{dN_{DTR}^{(s)}}{d\Omega} = \frac{e^2 T^2 \omega_B}{8\pi^4 n^2 L_{ext}} \times \Omega^{(s)^2} \left( \frac{1}{\Delta} - \frac{1}{\Delta - \chi'_0} \right)^2 \int_{-\infty}^{\infty} R_{DTR}^{(s)} d\xi^{(s)}. \quad (9)$$

### 3. УЧЕТ МНОГОКРАТНОГО РАССЕЯНИЯ ЭЛЕКТРОННОГО ПУЧКА НА АТОМАХ МИШЕНИ

Рассмотрим влияние многократного рассеяния электрона атомами среды на спектрально-угловые характеристики параметрического рентгеновского излучения. Для этого проведем усреднение спектрально-угловой плотности PXR по функции углового распределения электронов в пучке, например,

$$f(\psi, t) = \frac{1}{\pi(\psi_0^2 + \psi_s^2 t)} \exp \left\{ -\frac{\psi^2}{\psi_0^2 + \psi_s^2 t} \right\}, \quad (10)$$

где векторы  $\mathbf{e}_0^{(1)}$  и  $\mathbf{e}_0^{(2)}$  перпендикулярны вектору  $\mathbf{k} = k\mathbf{n}$ , а векторы  $\mathbf{e}_{\mathbf{g}}^{(1)}$  и  $\mathbf{e}_{\mathbf{g}}^{(2)}$  перпендикулярны вектору  $\mathbf{k}_{\mathbf{g}} = \mathbf{k} + \mathbf{g} = k_{\mathbf{g}}\mathbf{n}_{\mathbf{g}}$ . Векторы  $\mathbf{e}_0^{(2)}$ ,  $\mathbf{e}_{\mathbf{g}}^{(2)}$  лежат в плоскости векторов  $\mathbf{k}$  и  $\mathbf{k}_{\mathbf{g}}$  ( $\pi$ -поляризация), а векторы  $\mathbf{e}_0^{(1)}$  и  $\mathbf{e}_{\mathbf{g}}^{(1)}$  перпендикулярны ей ( $\sigma$ -поляризация).

Найдем угловую плотность PXR, для этого проинтегрируем выражение (3) по частотной функции  $\xi^{(s)}(\omega)$ , используя соотношение

$$\frac{d\omega}{\omega} = -\frac{T^2 \omega_B}{2\pi^2 n^2 L_{ext}} d\xi^{(s)},$$

следующее из выражения для  $\xi^{(s)}(\omega)$  (5). Поскольку  $\mu_1^{(s)} L_{ext} / \varepsilon \ll 1$ , такое интегрирование может быть выполнено с использованием аппроксимации

$$\frac{1}{y^2 + c^2} \left( 1 + e^{-dc} - 2a^{-dc/2} \cos \left( \frac{d}{2} y \right) \right) \rightarrow \frac{\pi}{c} (1 - e^{-dc}) \delta(y). \quad (7)$$

Результат интегрирования представим в виде

т. е. по расширяющемуся пучку прямолинейных траекторий излучающих электронов;  $\psi_0$  — начальная расходимость электронного пучка. Для рассматриваемого случая рассеяния в периодической слоистой среде средний квадрат угла многократного рассеяния на единице длины будем рассматривать в виде

$$\psi_s^2 = \frac{a\psi_a^2 + b\psi_b^2}{a + b}, \quad (11)$$

где

$$\psi_a^2 = \frac{E_s^2}{m^2 \gamma^2} \frac{1}{L_R^a}, \quad \psi_b^2 = \frac{E_s^2}{m^2 \gamma^2} \frac{1}{L_R^b}$$

— средние квадраты углов многократного рассеяния на единице длины в рассматриваемых средах,  $E_s \approx 4\pi m^2 / e^2 \approx 21$  МэВ;  $L_R^a$ ,  $L_R^b$  — радиационные длины в материалах слоев. Выражения, описывающие спектрально-угловые плотности PXR и DTR, усредненные по расширяющемуся пучку прямолинейных траекторий излучающих электронов на длине пути электрона в мишени  $L_e$ , будут иметь вид

$$\left\langle \omega \frac{d^2 N_{PXR, DTR}^{(s)}}{d\omega d\Omega} \right\rangle = \frac{1}{\pi L_e} \int_0^{L_e} dt \iint d\psi_{\perp} d\psi_{\parallel} \times \exp \left\{ -\frac{\psi^2}{\psi_0^2 + \psi_s^2 t} \right\} \omega \frac{d^2 N_{PXR, DTR}^{(s)}}{d\omega d\Omega}. \quad (12)$$

Используя (3), (4) и (12), получим выражения, описывающие спектрально-угловые плотности PXR и DTR с учетом многократного рассеяния электрона на атомах периодической слоистой среды:

$$\left\langle \omega \frac{d^2 N_{PXR}^{(s)}}{d\omega d\Omega} \right\rangle = \frac{e^2}{4\pi^3 \psi_s^2 L_e} \iint d\psi_{\perp} d\psi_{\parallel} \times \left[ \frac{\Omega^{(s)^2}}{(\Delta - \chi_0')^2} R_{PXR}^{(s)}(\psi_{\perp}, \psi_{\parallel}) \Delta E_1 \right], \quad (13)$$

$$\left\langle \omega \frac{dN_{DTR}^{(s)}}{d\Omega} \right\rangle = \frac{e^2 T^2 \omega_B \varepsilon^2}{4\pi^4 n^2 \mu_0 L_{ext}^2 L_e \psi_s^2} \iint d\psi_{\perp} d\psi_{\parallel} \Omega^{(s)^2} \times \left( 1 - \exp \left\{ -L_e \mu_0 \frac{(\Delta - \chi_0')^2 - 2\kappa^{(s)} \nu^{(s)} \chi_0' (\Delta - \chi_0') + \nu^{(s)^2} \chi_0'^2}{(\Delta - \chi_0')^2 \varepsilon + \nu^{(s)^2} \chi_0'^2} \right\} \right) \times \left\{ (\Delta - \chi_0')^2 - 2\kappa^{(s)} \nu^{(s)} \chi_0' (\Delta - \chi_0') + \nu^{(s)^2} \chi_0'^2 \right\}^{-1} \Delta E_1, \quad (15)$$

$$\left\langle \omega \frac{dN_{DTR}^{(s)}}{d\Omega} \right\rangle = \frac{e^2 T^2 \omega_B}{8\pi^5 n^2 L_{ext} L_e \psi_s^2} \times \int_{-\infty}^{\infty} R_{DTR}^{(s)} d\xi^{(s)} \iint d\psi_{\perp} d\psi_{\parallel} \times \left( \Omega^{(s)^2} \left( \frac{1}{\Delta} - \frac{1}{\Delta - \chi_0'} \right)^2 \Delta E_1 \right). \quad (16)$$

Выражения (13)–(16), полученные в рамках двухволнового приближения динамической теории дифракции для геометрии рассеяния Лауэ в общем случае асимметричного отражения поля электрона относительно поверхности мишени, являются главным результатом настоящей работы.

#### 4. УСЛОВИЕ ВКЛАДА ДИФРАГИРОВАННОГО ТОРМОЗНОГО ИЗЛУЧЕНИЯ

Многократное рассеяние электронов на атомах среды ведет к генерации тормозного излучения, которое далее может дифрагировать на слоях мишени в направлении рассеяния Брэгга  $\mathbf{k}_g$ , поэтому мы оценим вклад дифрагированного тормозного излучения в полный выход излучения релятивистских электронов в периодической слоистой среде. Рассмотрим величину  $\gamma_{LP}^{-2} = \psi_s^2 l_c$ , равную среднему

$$\left\langle \omega \frac{d^2 N_{DTR}^{(s)}}{d\omega d\Omega} \right\rangle = \frac{e^2}{4\pi^3 \psi_s^2 L_e} \iint d\psi_{\perp} d\psi_{\parallel} \times \left[ \Omega^{(s)^2} \left( \frac{1}{\Delta} - \frac{1}{\Delta - \chi_0'} \right)^2 R_{DTR}^{(s)}(\psi_{\perp}, \psi_{\parallel}) \Delta E_1 \right], \quad (14)$$

где

$$\Delta E_1 = E_1 \left( \frac{\psi_{\perp}^2 + \psi_{\parallel}^2}{\psi_0^2 + \psi_s^2 L_e} \right) - E_1 \left( \frac{\psi_{\perp}^2 + \psi_{\parallel}^2}{\psi_0^2} \right)$$

— разность интегральных показательных функций. На основе выражений (8), (9), (13) и (14) получим выражения, описывающие угловые плотности PXR и DTR с учетом многократного рассеяния:

квадрату угла многократного рассеяния электрона на длине формирования тормозного излучения, где  $l_c = 2\gamma^2/\omega$ . Учитывая (11), получим для периодической слоистой среды

$$\gamma_{LP} = \sqrt{\frac{e^2 \omega_B}{8\pi} \frac{a+b}{(a/L_R^a + b/L_R^b)}}. \quad (17)$$

В области энергии электронов  $\gamma > \gamma_{LP}$  в тормозном излучении проявляется эффект Ландау–Померанчука [15]. Если выполняется условие  $\gamma > \gamma_{LP}$ , то угол многократного рассеяния электрона на длине формирования излучения существенно превышает величину характерного угла излучения релятивистской частицы  $\gamma^{-1}$ , поэтому тормозной квант будет разделяться с кулоновским полем электрона на расстоянии, малом по сравнению с длиной формирования  $l_c$ . Таким образом, при условии  $\gamma > \gamma_{LP}$  на длине  $l_c$  электрон может излучить несколько тормозных фотонов, которые далее, дифрагируя на слоях мишени, могут вносить вклад в DBS. С другой стороны, в области энергии электрона  $\gamma > \gamma_{TM} = \omega_B/\omega_0$  ( $\omega_0$  — плазменная частота) должно проявляться подавление тормозного излучения (на частоте  $\omega \approx \omega_B$ ) вследствие продольного эффекта плотности (эффекта Тер-Микаэляна) [5, 16]. Для периодической слоистой среды

$$\gamma_{TM} = \frac{\omega_B}{\sqrt{\frac{a\omega_a^2 + b\omega_b^2}{a+b}}},$$

где  $\omega_a$  и  $\omega_b$  — плазменные частоты материалов рассматриваемой структуры. В случае  $\gamma_{LP} < \gamma < \gamma_{TM}$  подавления тормозного излучения не будет и DBS может дать существенный вклад в полный выход излучения. Таким образом, при выполнении одного из условий,  $\gamma > \gamma_{TM}$  или  $\gamma < \gamma_{LP}$ , вклад DBS в полный выход излучения можно не учитывать и применять традиционный метод усреднения спектрально-угловых характеристик излучений по расширяющемуся пучку прямолинейных траекторий излучающих электронов. Необходимое условие существенности вклада DBS в полный выход излучения из рассматриваемой периодической слоистой среды имеет вид

$$\frac{\gamma_{LP}}{\gamma_{TM}} = \sqrt{\frac{e^2}{8\pi\omega_B} \frac{a\omega_a^2 + b\omega_b^2}{(a/L_R^a + b/L_R^b)}} < 1. \quad (18)$$

Отсюда видно, что в условиях, когда  $\gamma_{LP}/\gamma_{TM} > 1$ , вклад DBS становится несущественным. Ниже будут приведены результаты расчетов, подтверждающие реальность существования этого условия, что полностью оправдывает подход к усреднению, примененный в настоящей работе.

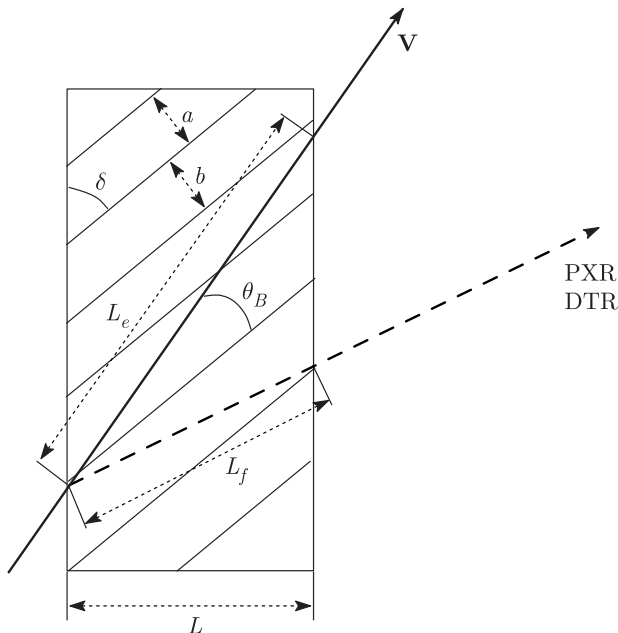


Рис. 2. Схема процесса излучения

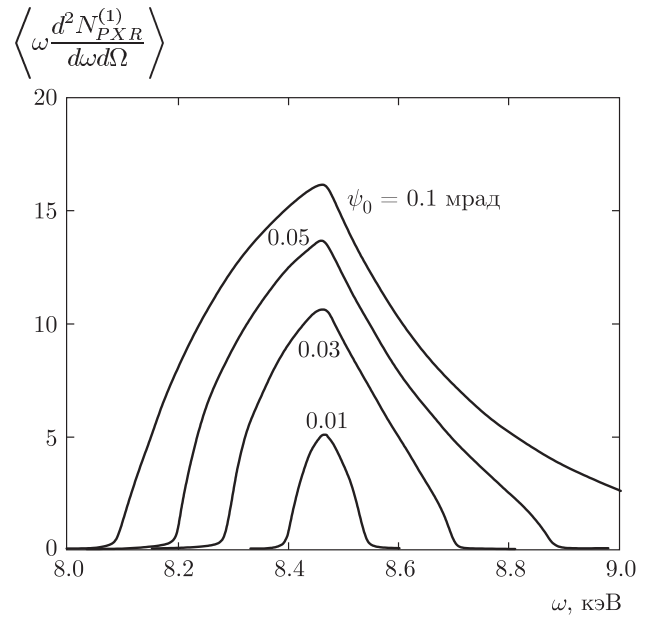


Рис. 3. Спектрально-угловая плотность PXR для различной начальной расходимости электронного пучка

## 5. ЧИСЛЕННЫЕ РАСЧЕТЫ

Используя полученные в настоящей работе выражения (13) и (15), проведем численные расчеты спектрально-угловой и угловой плотности излучения. Рассмотрим PXR, генерируемое пучком релятивистских электронов, пересекающих мишень, состоящую из слоистого материала с периодической структурой, полагая, что многократное рассеяние электрона на атомах мишени является существенным. Для наглядности на рис. 2 приведена схема геометрии процесса. Рассмотрим для примера PXR, генерируемое релятивистским электроном с энергией  $E_e \approx 255.5$  МэВ ( $\gamma = 500$ ) в периодической слоистой среде, состоящей из поочередно расположенных слоев углерода С и вольфрама W. Пусть период многослойной периодической структуры  $T = a + b = 2 \cdot 10^{-3}$  мкм, а толщина мишени  $L = 5$  мкм. Выберем угол между осью электронного пучка и слоями мишени  $\theta_B = 2.2^\circ$ , частоту Брэгга  $\omega_B = 8000$  эВ, угол между поверхностью мишени и отражающими слоями  $\delta = 4.5^\circ$ . В этом случае параметр асимметрии  $\varepsilon = \sin(\delta + \theta_B)/\sin(\delta - \theta_B) \approx 3$ . При такой асимметрии путь электрона в мишени  $L_e = L/\sin(\delta - \theta_B) \approx 120$  мкм будет достаточно большим даже при малой толщине мишени  $L = 5$  мкм, что должно приводить к существенному влиянию многократного рассеяния на спектрально-угловые характеристики PXR. Длина максимального пути

фотона в рассматриваемой задаче  $L_f \approx 42$  мкм. Расчеты спектральной угловой плотности излучения выполнены для  $\sigma$ -поляризованных волн ( $s = 1$ ) при  $\theta_{\parallel} = 0$ . На рис. 3 представлены построенные по формуле (13) кривые, описывающие спектрально-угловую плотность PXR релятивистского электрона при фиксированном угле наблюдения  $\theta_{\perp} = 10$  мрад. Расчеты проведены для случая равенства толщин слоев углерода и вольфрама  $a = b$ . В этом случае  $\gamma_{LP} \approx 274$  и  $\gamma_{TM} \approx 126$ . Так как  $\gamma > \gamma_{TM}$ , то происходит подавление фотонов тормозного излучения вследствие эффекта Тер-Микаэляна. Кривые на рис. 3 построены для различных значений начальной расходимости электронного пучка  $\psi_0$ . Как следует из рисунка, при увеличении начальной расходимости электронного пучка растет как ширина, так и амплитуда спектра PXR. Рост ширины спектра вполне объясним: он связан с тем, что при возрастании расходимости электронного пучка возрастает диапазон углов, которые могут составлять векторы скорости электронов со слоями мишени. Увеличение же амплитуды спектра PXR носит динамический характер. Оно связано с тем, что резонансное условие PXR, которое соответствует приближенному равенству нулю выражения в знаменателе формулы (3b)

$$\sigma^{(s)}(\theta_{\perp}, \theta_{\parallel}, \psi_{\perp}, \psi_{\parallel}) + \frac{\xi^{(s)}(\omega) - \sqrt{\xi^{(s)}(\omega)^2 + \varepsilon}}{\varepsilon} \approx 0, \quad (19)$$

определяющее частоту  $\omega^*$ , в окрестности которой сосредоточен спектр фотонов PXR, излучаемых под фиксированным углом наблюдения, будет ближе к нулю при отличных от нуля значениях  $\psi'$  — угла отклонения электрона в пучке. При выполнении резонансного динамического условия (19) псевдофотон кулоновского поля релятивистского электрона и свободный фотон в периодической слоистой среде имеют одинаковые реальные части длин волновых векторов, а это является условием возникновения рефлекса PXR. Чем больше начальная расходимость пучка электронов, тем более вероятно достижение в процессе многократного рассеяния условия  $\psi' > \psi_0$ . Данный эффект ведет к существенному росту угловой плотности PXR релятивистского электрона при увеличении начальной расходимости электронного пучка  $\psi_0$ , что демонстрируют представленные на рис. 4 кривые, построенные по формуле (15) и описывающие угловую плотность PXR. Необходимо отметить, что если предположить отсутствие многократного рассеяния, то амплитуда спектра PXR и его угловая плотность будут существенно превышать реальные.

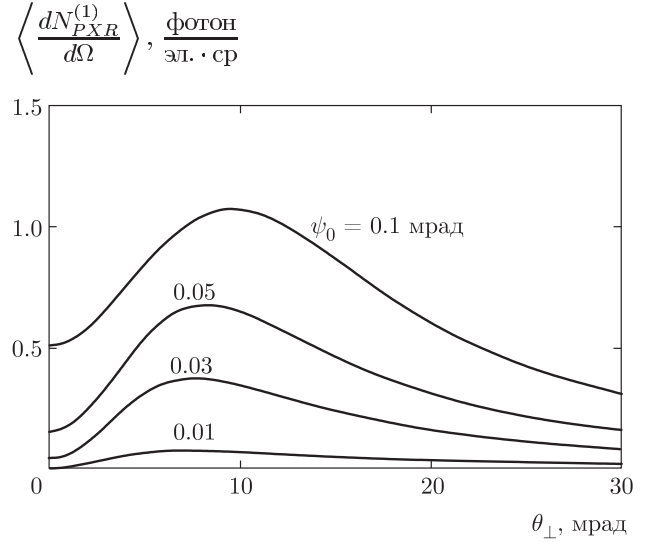


Рис. 4. Угловая плотность PXR для различной начальной расходимости электронного пучка

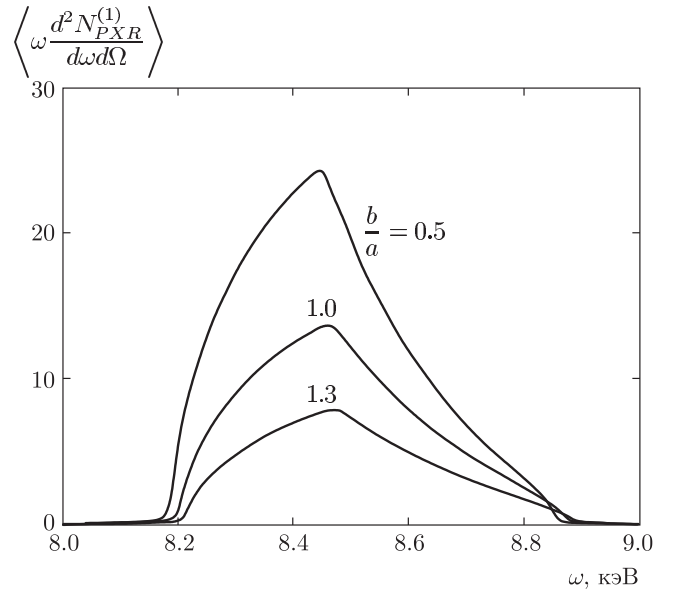


Рис. 5. Влияние соотношения толщин слоев на спектрально-угловую плотность PXR

Рассмотрим зависимость спектрально-угловой плотности PXR от соотношения толщин слоев мишени  $b/a$  при фиксированном периоде  $T = a + b = 2 \cdot 10^{-3}$  мкм. На рис. 5 представлены кривые, описывающие спектрально-угловую плотность PXR пучка релятивистских электронов при фиксированных значениях угла наблюдения  $\theta_{\perp} = 10$  мрад и начальной расходимости электронного пучка  $\psi_0 = 0.05$  мрад. В этих условиях при  $b/a = 1.3$  получаем величины  $\gamma_{LP} \approx 259$  и  $\gamma_{TM} \approx 119$ , а

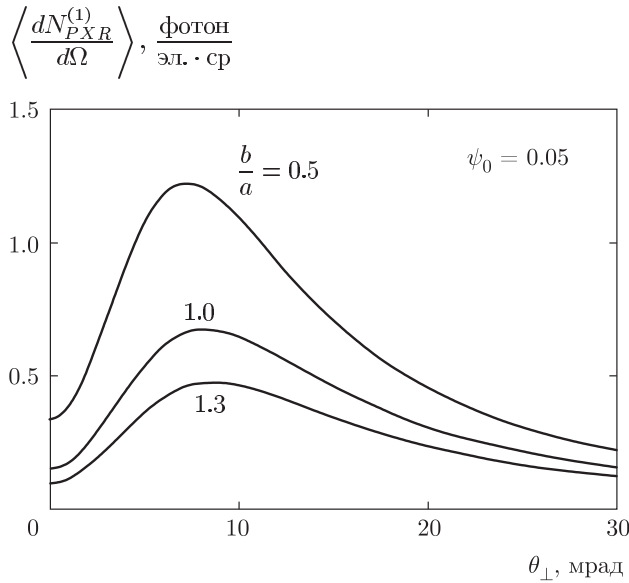


Рис. 6. Влияние соотношения толщин слоев на угловую плотность PXR

при  $b/a = 0.5$  имеем  $\gamma_{LP} \approx 332$  и  $\gamma_{TM} \approx 142$ . Таким образом, для всех кривых, представленных на рис. 5, выполнено условие  $\gamma > \gamma_{TM}$ , т.е. тормозное излучение подавляется. А это значит, что правомерно его не учитывать. Как видно на рис. 5, амплитуда спектра PXR возрастает при уменьшении соотношения  $b/a$ , т.е. при уменьшении толщины слоя вольфрама и увеличении толщины слоя углерода. Для анализа полученного результата вычислим длину поглощения рентгеновских волн в рассматриваемой периодической слоистой среде  $L_{abs} = T/\omega(a\chi_a'' + b\chi_b'')$  и параметры динамического рассеяния  $\nu^{(s)}$  и  $\kappa^{(s)}$  (см. (5)). Для рассматриваемого случая для величин  $L_{abs}(b/a)$ ,  $\nu^{(1)}(b/a)$  и  $\kappa^{(1)}(b/a)$  получим следующие значения:  $L_{abs}(1.3) \approx 5.5$  мкм,  $L_{abs}(1) \approx 6.2$  мкм,  $L_{abs}(0.5) \approx 9.2$  мкм;  $\nu^{(1)}(1.3) \approx 0.36$ ,  $\nu^{(1)}(1) \approx 0.39$ ,  $\nu^{(1)}(0.5) \approx 0.43$ ;  $\kappa^{(1)}(1.3) \approx 0.55$ ,  $\kappa^{(1)}(1) \approx 0.63$ ,  $\kappa^{(1)}(0.5) \approx 0.82$ . Отсюда видно, что три составляющие вносят вклад в данный эффект. С уменьшением соотношения  $b/a$  а) увеличивается длина поглощения  $L_{abs}$ , что связано с уменьшением толщины более плотного вещества; б) усиливается конструктивная интерференция волн в режиме динамической дифракции от разных слоев мишени (увеличение параметра  $\nu^{(1)}$ ); в) усиливается динамический эффект Бормана (увеличение  $\kappa^{(1)}$ ) — в данном случае, падающая и дифрагированные рентгеновские волны образуют стоячую волну в периодической слоистой среде, пучности которой в большей степени перемещаются в слой углерода, при этом фотопоглощение

существенно уменьшается. Увеличение амплитуды спектра PXR при уменьшении соотношения  $b/a$  приводит к росту угловой плотности PXR, что демонстрируют построенные по формуле (15) кривые на рис. 6.

Необходимо отметить, что в настоящей работе не проведены численные расчеты спектрально-угловых характеристик DTR, хотя полученные формулы (14) и (16) позволяют это сделать. Это связано с тем, что, во-первых, многократное рассеяние электронов в мишени будет мало влиять на DTR, которое является результатом дифракции на слоях мишени переходного излучения, генерируемого на входной поверхности мишени. Во-вторых, максимальная длина пути фотона DTR в рассматриваемом примере  $L_f \approx 42$  мкм существенно больше длины поглощения  $L_{abs}$ , т.е. фотоны DTR в рассматриваемом случае полностью поглотятся материалом мишени.

## 6. ЗАКЛЮЧЕНИЕ

В работе исследовано влияние начальной расходимости электронного пучка и соотношения толщин слоев периодической слоистой среды на спектрально-угловые характеристики PXR и DTR релятивистского электрона, пересекающего мишень из периодической слоистой среды в геометрии рассеяния Лауэ. Для учета многократного рассеяния электрона на атомах мишени использован традиционный метод усреднения сечений излучений PXR и DTR по расширяющемуся пучку прямолинейных траекторий электронов. Вклад DBS в полный выход излучения не учитывался. Оцениваются условия существенности (несущественности) вклада DBS в выход излучения и показаны условия применимости традиционного метода для описания полного выхода излучения, генерируемого пучком релятивистских электронов в периодической слоистой среде. В работе показано, что при увеличении расходимости электронного пучка растет не только ширина спектра PXR, но и его амплитуда, что приводит к существенному росту угловой плотности PXR. Показано, что изменение соотношения длин слоев мишени может привести к существенному росту амплитуды спектра PXR и его угловой плотности.

Работа поддержана Министерством образования и науки Российской Федерации (проектная часть государственного задания № 3.500.2014/К в сфере научной деятельности и государственное задание № 2014/420).



## ЛИТЕРАТУРА

1. N. N. Nasonov, V. V. Kaplin, S. R. Uglov, M. A. Piestrup, and C. K. Gary, Phys. Rev. E **68**, 3604 (2003).
2. O. V. Chesonov, B. N. Kalinin, G. A. Naumenko, D. V. Podalko et al., Nucl. Instr. Meth. B **173**, 18 (2001).
3. E. A. Bogomazova, B. N. Kalinin, G. A. Naumenko, D. V. Podalko et al., Nucl. Instr. Meth. B **201**, 276 (2003).
4. Н. Н. Насонов, В. А. Насонова, А. В. Носков, Поверхность. Рентгеновские, синхротронные и нейтронные исследования № 4, 18 (2004).
5. М. Л. Тер-Микаэлян, *Влияние среды на электромагнитные процессы при высоких энергиях*, АН АрмССР, Ереван (1969).
6. T. Tanaka et al., Nucl. Instrum. Meth. B **93**, 21 (1994).
7. K. Yamada, T. Hosokawa, and H. Takenaka, Phys. Rev. A **59**, 3673 (1999).
8. S. Asano et al., Phys. Rev. Lett. **70**, 3247 (1993).
9. A. E. Kaplan, C. T. Law, and P. L. Shkolnikov, Phys. Rev. E **52**, 6795 (1995).
10. B. Pardo and J.-M. Andre, Phys. Rev. E **65**, 036501 (2002).
11. С. В. Блажевич, И. В. Колосова, А. В. Носков, ЖЭТФ **141**, 627 (2012).
12. С. В. Блажевич, Т. В. Коськова, А. В. Носков, Изв. ВУЗов. Физика **57**, 110 (2014).
13. С. В. Блажевич, А. В. Носков, ЖЭТФ **147**, 875 (2015).
14. З. Г. Пинскер, *Динамическое рассеяние рентгеновских лучей в идеальных кристаллах*, Наука, Москва (1974).
15. Л. Д. Ландау, И. Я. Померанчук, ДАН СССР **92**, 735 (1953).
16. М. Л. Тер-Микаэлян, ДАН СССР **94**, 1033 (1954).